

STEROWANIE NIEHOLONOMICZNYM SYSTEMEM ŁAŃCUCHOWYM METODĄ ORIENTOWANIA POLA WEKTOROWEGO[†]

Maciej MICHAŁEK, Krzysztof KOZŁOWSKI

Politechnika Poznańska, Instytut Sterowania i Inżynierii Systemów
ul. Piotrowo 3a, 60-965 Poznań, e-mail: imie.nazwisko@put.poznan.pl

Streszczenie: Artykuł prezentuje propozycję rozwiązania zadania śledzenia trajektorii dla nieholonomicznego systemu łańcuchowego z trójwymiarowym wektorem stanu. Metodologia projektowania prawa sterowania (zwana metodą orientowania pola wektorowego [11, 12]) wynika z analizy postaci pół-generatorów w modelu kinematyki rozważanego systemu i geometrycznej interpretacji jego ewolucji w odpowiedzi na sygnały wejściowe. Praca wyjaśnia proponowaną strategię sterowania oraz zawiera jej symulacyjną weryfikację.

Słowa kluczowe: system łańcuchowy, ograniczenia nieholonomiczne, śledzenie trajektorii, pole wektorowe.

1. WPROWADZENIE

Zagadnienie sterowania układami nieholonomicznymi, czyli silnie nieliniowymi układami z nakończonymi niecałkowalnymi więzami prędkościowymi, stanowi od dłuższego już czasu pole intensywnych badań. Trudności w projektowaniu sterowania dla wspomnianej klasy systemów dynamicznych wynikają z mniejszej liczby sygnałów sterujących w stosunku do liczby sterowanych zmiennych stanu przy jednoczesnej obecności więzów nieholonomicznych. Właściwość sterowalności rozważanych układów nie determinuje w ogólności ich stabilizowalności – zgodnie z [4] nie istnieje statyczne i ciągłe sprzężenie od stanu pozwalające na stabilizację takich układów w punkcie. Występowanie więzów nieholonomicznych utrudnia również projektowanie praw stabilizacji trajektorii (zadanie śledzenia trajektorii). W ciągu ostatnich kilkunastu lat zaproponowano wiele metod rozwiązujących lokalnie bądź globalnie poszczególne problemy sterowania dla systemów nieholonomicznych [10, 13, 3, 15]. Metody te wykorzystują takie techniki, jak linearyzacja dynamiczna [5, 16, 18], transformacje modeli do innych przestrzeni [2, 1], teoria stabilności Lapunowa [1, 9, 6, 7], teoria algebr i grup Liego [14] i inne. Należy zauważyć, że część proponowanych w literaturze rozwiązań wymaga nałożenia znacznych ograniczeń na sygnały referencyjne lub stosuje się do jednego tylko wybranego modelu systemu nieholonomicznego. Ciągłe zatem otwartymi problemami pozostają: unifikacja podejścia do sterowania

całymi podklasami układów nieholonomicznych (atrakcyjne podejście gwarantujące stabilność praktyczną zaproponowano np. w pracy [14]), kwestia syntezy regulatorów oraz jakość regulacji w stanach przejściowych. Problemy z syntezą praw sterowania wynikają głównie ze stosowania abstrakcyjnego aparatu matematycznego do formułowania prawa sterowania i tym samym braku fizycznej interpretacji poszczególnych jego składników. W niniejszej pracy zaprezentowana zostanie propozycja rozwiązania zadania śledzenia trajektorii dla nieholonomicznego układu łańcuchowego:

$$\begin{aligned}\dot{x}_1 &= u_2 \\ \dot{x}_2 &= u_1 \\ \dot{x}_3 &= x_2 u_2\end{aligned}\quad (1)$$

z trójwymiarowym wektorem stanu $\mathbf{x} \triangleq [x_1 \ x_2 \ x_3]^T \in \mathbb{R}^3$ i dwoma sterowaniami u_1, u_2 z zastosowaniem metody orientowania pola wektorowego. Metoda ta opiera się na prostej analizie postaci pół-generatorów bezdryfowego modelu kinematyki (1) oraz na geometrycznej interpretacji ewolucji rozważanego systemu w odpowiedzi na sygnały sterujące. Zastosowanie metody orientowania pola wektorowego dotyczy całej podklasy systemów nieholonomicznych o specyficznych właściwościach modelu, a jej zastosowanie do rozwiązania zadania śledzenia dla jednokołowego robota mobilnego oraz nieholonomicznego manipulatora można znaleźć w pracach [11, 12]. Rozważany model systemu łańcuchowego stanowi ważny przykład próby unifikacji podejścia do sterowania systemami nieholonomicznymi z tego względu, iż bardzo wiele takich systemów można (przynajmniej lokalnie) zastąpić modelem łańcuchowym poprzez odpowiednią transformację wektora stanu oraz zmianę definicji sygnałów wejściowych (przykład ady można znaleźć w pracach [2, 6, 17]).

2. KINEMATYKA SYSTEMU

W dalszej części pracy rozważać będziemy 3-wymiarowy układ łańcuchowy o wektorze stanu $\mathbf{x} \triangleq [x_1 \ x_2 \ x_3]^T \in$

[†]Praca finansowana ze środków MNiI-KBN w latach 2004-2006 jako projekt badawczy 3 T11A 009 27.

\mathbb{R}^3 oraz sterowaniach $\mathbf{u} = [u_1 \ u_2]^T \in \mathbb{R}^2$:

$$\begin{aligned}\dot{x}_1 &\triangleq u_2, \\ \dot{x}_2 &\triangleq u_1, \\ \dot{x}_3 &\triangleq x_2 u_2,\end{aligned}\quad (2)$$

który można zapisać w ogólnej formie kinematyki bezdryfowej:

$$\dot{\mathbf{x}} \triangleq \mathbf{g}_1 u_1 + \mathbf{g}_2(\mathbf{x}) u_2, \quad (3)$$

gdzie w tym przypadku pola-generatory mają postać

$$\mathbf{g}_1 = [0 \ 1 \ 0]^T, \quad \mathbf{g}_2(x_2) = [1 \ 0 \ x_2]^T. \quad (4)$$

Z pierwszego i trzeciego równania w (2) dostajemy następujące niecałkowalne ograniczenia prędkościowe:

$$\dot{x}_3 - x_2 \dot{x}_1 = 0 \quad \Rightarrow \quad \mathbf{A}(\mathbf{x}) \dot{\mathbf{x}} = 0, \quad (5)$$

gdzie $\mathbf{A}(\mathbf{x}) = [-x_2 \ 0 \ 1]$ jest macierzą ograniczeń.

Wyróżnimy w układzie (2) 2-wymiarowy podsystem:

$$\dot{\mathbf{x}}^* \triangleq \mathbf{g}_2^*(x_2) u_2 \quad (6)$$

utworzony poprzez wycięcie drugiego wiersza w (3), gdzie:

$$\mathbf{x}^* \triangleq [x_1 \ x_3]^T, \quad \mathbf{g}_2^*(x_2) \triangleq [1 \ x_2]^T. \quad (7)$$

Zakładamy ponadto, że model referencyjny definiujący trajektorię referencyjną ma strukturę zgodną z (2):

$$\begin{aligned}\dot{x}_{1t} &\triangleq u_{2t}, \\ \dot{x}_{2t} &\triangleq u_{1t}, \\ \dot{x}_{3t} &\triangleq x_{2t} u_{2t}.\end{aligned}\quad (8)$$

Trajektoria referencyjna (tzw. trajektoria dopuszczalna¹) $\mathbf{x}_t(t) \triangleq [x_{1t}(t) \ x_{2t}(t) \ x_{3t}(t)]^T$ wynika z całkowania modelu (8) w całym czasowym horyzoncie sterowania $t \in [0, \tau]$ oraz zakłada się, że jest ona ustawnie pobudzająca².

3. STRATEGIA STEROWANIA

Spróbujmy zinterpretować geometrycznie postać i potencjalną ewolucję systemu (3). Pierwsze pole-generator \mathbf{g}_1 jest polem stałym skierowanym wzdłuż osi prędkości \dot{x}_2 . Drugie pole-generator $\mathbf{g}_2(x_2)$ jest funkcją tylko zmiennej x_2 , która determinuje chwilową orientację (kierunek) tego pola w \mathbb{R}^2 (precyzyjniej w \mathbb{R}^3 , ale druga składowa tożsamościowo równa jest zero – orientacja \mathbf{g}_2 w \mathbb{R}^3 jest tożsama z orientacją \mathbf{g}_2^* w \mathbb{R}^2). Skoro zmienna x_2 określa kierunek $\mathbf{g}_2(x_2)$, to nazwiemy ją *zmienną orientującą*, a sterowanie u_1 , które bezpośrednio wpływa na zmianę x_2 – *sterowaniem orientującym*. Sterowanie u_2 natomiast ma wpływ na zmianę jedynie zmiennych x_1 oraz x_3 wzdłuż osi pola $\mathbf{g}_2(x_2)$. Można powiedzieć, że

¹Trajektoria dopuszczalna spełnia ograniczenia postaci (5).

²Wyjaśnienie ustawnie pobudzającego dla trajektorii referencyjnej zawarto w dalszej części pracy.

u_2 *popycha* podsystem (6) wzdłuż osi generatora $\mathbf{g}_2(x_2)$, zatem u_2 nazwiemy sterowaniem *popychającym*. Załóżmy teraz, że dany jest pewien wektor zbieżności $\mathbf{h} = [h_1 \ h_2 \ h_3]^T \in \mathbb{R}^3$ definiujący dystans³ do trajektorii referencyjnej $\mathbf{x}_t^* \triangleq [x_{1t} \ x_{3t}]^T$ oraz pożądaną orientację ewolucji systemu (2) gwarantującą zbieżność (2) do trajektorii referencyjnej \mathbf{x}_t . Zadanie śledzenia można teraz podzielić na dwa podzadania: zadaniem sterowania u_1 będzie wymuszenie takiej ewolucji zmiennej x_2 , by bieżący kierunek pola $\mathbf{g}_2(x_2)$ nakładać na kierunek wektora \mathbf{h} , co można zapisać jako:

$$u_1 : \left\{ \lim_{t \rightarrow \infty} (\mathbf{g}_2(x_2) k = \mathbf{h}) \right\}, \quad (9)$$

gdzie $k = k(t) \neq 0$ oznacza pewną skalarną funkcję. Podstawiając odpowiednie postaci pól do powyższej relacji oraz przyrównując poszczególne współrzędne tych pól uzyskamy następujące warunki wskazujące na sposób projektowania sterowania u_1 [11, 12]:

$$u_1 : \left\{ \lim_{t \rightarrow \infty} (x_2 = h_3/h_1) \wedge \lim_{t \rightarrow \infty} (h_2 = 0) \right\}, \quad (10)$$

Zadaniem sterowania u_2 pozostanie popychanie podsystemu (6) wzdłuż osi chwilowego kierunku $\mathbf{g}_2(x_2)$ (z tego względu, że nakłócenie kierunku $\mathbf{g}_2(x_2)$ na \mathbf{h} nie może być zrealizowane natychmiastowo, uzasadnione wydaje się popychanie podsystemu (6) proporcjonalnie do chwilowego ortogonalnego rzutu wektora zbieżności na kierunek generatora $\mathbf{g}_2(x_2)$). Postać wektora zbieżności \mathbf{h} będzie miała decydujący wpływ na charakter stanów przejściowych systemu (2), czyli sposób dochodzenia do trajektorii referencyjnej. Dodatkowo konstrukcja wektora \mathbf{h} winna zapewniać zbieżność zmiennej x_2 do wartości referencyjnej x_{2t} w pobliżu trajektorii referencyjnej $(x_{1t}, x_{3t}) \in \mathbb{R}^2$. W tym momencie należy zauważyć, że pole $\mathbf{g}_2(x_2) = [g_1 \ g_2 \ g_3]^T = [1 \ 0 \ x_2]^T$ nie jest w pełni orientowalne [11], ponieważ jego pierwsza składowa nie jest funkcją zmiennej orientującej. Nierealizowalny w układzie (2) jest jednak tylko jeden kierunek zdefiniowany polem wektorowym $\mathbf{g}_{2s} = [0 \ 0 \ x_2]^T, \forall |x_2| < \infty$. Skoro w trakcie procesu orientowania pola $\mathbf{g}_2(x_2)$ jego kierunek nakładany jest na chwilowy kierunek wektora zbieżności \mathbf{h} , to kierunek osobliwy \mathbf{g}_{2s} odpowiadać będzie wektorom zbieżności z zerową pierwszą współrzędną: $\mathbf{h}_s = \{\mathbf{h} : h_1 = 0\}$ – kierunek ten również nazwiemy osobliwym. Zerowanie się składowej h_1 w wektorze \mathbf{h} będzie skutkowało w tym przypadku osobliwością sterowania. Problem osobliwości będzie rozważony w dalszej części artykułu.

4. PRAWO STEROWANIA

Biorąc pod uwagę (10) zaproponujemy następującą postać wektora zbieżności:

$$\mathbf{h} = \begin{bmatrix} h_1 \\ h_2 \\ h_3 \end{bmatrix} \triangleq \begin{bmatrix} k_p e_1 + \dot{x}_{1t} \\ x_{2d} - x_2 \\ k_p e_3 + \dot{x}_{3t} \end{bmatrix}, \quad (11)$$

³Jak się okaże w dalszej części pracy, dystans ten jest odległością w przestrzeni \mathbb{R}^2 .

⁴Zgodnie z (4) pierwsza składowa $\mathbf{g}_2(x_2)$ jest równa 1, lecz w rzeczywistości mamy dodatkowo możliwość wpływu na znak składowej pola $\text{sgn}(u_2) \mathbf{g}_2(x_2)$ poprzez znak sterowania u_2 (por. (3)).

gdzie $k_p > 0$ jest parametrem projektowym, a sygnał x_{2d} definiuje zadaną orientację (kierunek) pola wektorowego $\mathbf{g}_2(x_2)$:

$$x_{2d} \triangleq \frac{h_3}{h_1} \stackrel{(11)}{=} \frac{k_p e_3 + \dot{x}_{3t}}{k_p e_1 + \dot{x}_{1t}}, \quad h_1 \neq 0. \quad (12)$$

Zgodnie z rozważaniami z poprzedniego punktu sterowanie u_1 winno gwarantować realizację zadanego kierunku pola $\mathbf{g}_2(x_2)$. Skoro kierunek ten jest definiowany przez (12), to propozycja sterowania orientującego jest następująca:

$$u_1 \triangleq k_1(x_{2d} - x_2) + \dot{x}_{2d}, \quad (13)$$

gdzie $k_1 > 0$ stanowi parametr projektowy oraz

$$\dot{x}_{2d} \stackrel{(12)}{=} \frac{\dot{h}_3 h_1 - h_3 \dot{h}_1}{h_1^2}, \quad (14)$$

gdzie (por. (11), (2) i (8)):

$$\dot{h}_1 = k_p(u_{2t} - u_2) + \ddot{x}_{1t}, \quad (15)$$

$$\dot{h}_3 = k_p(x_{2t}u_{2t} - x_2u_2) + \ddot{x}_{3t}. \quad (16)$$

Zadaniem sterowania u_2 ma być popychanie podsystemu (6). Uwzględniając wcześniejsze rozważania, niech działanie u_2 będzie proporcjonalnie do chwilowego rzutu wektora $\mathbf{h}^* = [h_1 \ h_3]^T \in \mathbb{R}^2$ na bieżący kierunek pola $\mathbf{g}_2^*(x_2)$. Weźmy zatem:

$$u_2 \triangleq k_2 \|\mathbf{h}^*\| \cos \alpha, \quad \cos \alpha \triangleq \frac{\mathbf{g}_2^{*T} \mathbf{h}^*}{\|\mathbf{g}_2^*\| \|\mathbf{h}^*\|}, \quad (17)$$

gdzie: $\alpha \angle (\mathbf{g}_2^*, \mathbf{h}^*)$ oraz

$$k_2 \triangleq \frac{1}{\|\mathbf{g}_2^*\|} \stackrel{(7)}{=} \frac{1}{\sqrt{1+x_2^2}}, \quad (18)$$

$$\|\mathbf{h}^*\| = \sqrt{h_1^2 + h_3^2}. \quad (19)$$

Łatwo sprawdzić, że propozycję (17)-(18) daje się zapisać w prostszej postaci:

$$u_2 = \frac{\mathbf{g}_2^{*T} \mathbf{h}^*}{1+x_2^2}, \quad (20)$$

która jest dobrze określona także dla $\|\mathbf{h}^*\| = 0$.

Poniżej przedstawiona zostanie propozycja prawa stabilizacji trajektorii systemu (2) przy założeniu, że wektor zbieżności nie przechodzi przez kierunek osłobliwy: $\forall t \geq 0 : \mathbf{h} \neq \mathbf{h}_s$.

Propozycja 1 Zakładając, że trajektoria referencyjna $\mathbf{x}_t(t)$ jest nieustannie pobudzająca, czyli:

$$\forall t \geq 0 : \|\dot{\mathbf{x}}_t^*\| = \sqrt{\dot{x}_{1t}^2 + \dot{x}_{3t}^2} \neq 0 \stackrel{(8)}{\Rightarrow} |u_{2t}| \neq 0, \quad (21)$$

zakładając ponadto ciągłość i ograniczoność sygnałów referencyjnych

$$x_{it} \in C^2, \quad i = 1, 2, 3, \quad u_{1t}, u_{2t} \in \mathcal{L}_\infty \quad (22)$$

oraz niezerową wartość pierwszej współrzędnej wektora zbieżności \mathbf{h} :

$$\forall t \geq 0 : h_1 \neq 0, \quad (23)$$

prawo sterowania definiowane przez (13)-(19) zastosowane do systemu (2) gwarantuje asymptotyczną zbieżność błędów śledzenia

$$\mathbf{e} = [e_1 \ e_2 \ e_3]^T \triangleq [x_{1t} - x_1 \quad x_{2t} - x_2 \quad x_{3t} - x_3]^T$$

do zera dla $t \rightarrow \infty$.

Dowód 1 Rozważmy na początku zachowanie się błędu kierunku $e_{2d} = x_{2d} - x_2$ pola $\mathbf{g}_2^*(x_2)$. Podstawiając (13) do drugiego równania w (2) otrzymujemy:

$$\dot{e}_{2d} + k_1 e_{2d} = 0 \quad \Rightarrow \quad \lim_{t \rightarrow \infty} x_2 = x_{2d}. \quad (24)$$

Zatem sterowanie (13) gwarantuje nakładanie kierunku pola \mathbf{g}_2 na chwilowy kierunek wektora zbieżności \mathbf{h} . Rozważmy teraz ewolucję błędu $\mathbf{e}^* = [e_1 \ e_3]^T \triangleq \mathbf{x}_t^* - \mathbf{x}^*$. Bezpośrednie połączenie zależności:

$$\dot{\mathbf{h}}^* \stackrel{(11)}{=} k_p \mathbf{e}^* + \dot{\mathbf{x}}_t^*, \quad (25)$$

oraz

$$\dot{\mathbf{e}}^* = \dot{\mathbf{x}}_t^* - \dot{\mathbf{x}}^* \quad (26)$$

daje następujące równanie różniczkowe:

$$\dot{\mathbf{e}}^* + k_p \mathbf{e}^* = \mathbf{r}, \quad \mathbf{r} = \dot{\mathbf{h}}^* - \dot{\mathbf{x}}^*. \quad (27)$$

Wykonując elementarne obliczenia można pokazać, że prawdziwe są relacje (patrz Dodatek):

$$\|\mathbf{r}\|^2 = \|\mathbf{h}^*\|^2 (1 - \cos^2 \alpha), \quad (28)$$

$$\lim_{x_2 \rightarrow x_{2d}} (1 - \cos^2 \alpha) = 0. \quad (29)$$

Zdefiniujemy następującą skalarną funkcję klasy K_∞ [19]:

$$V(\mathbf{e}^*) = \frac{1}{2} \mathbf{e}^{*T} \mathbf{e}^*, \quad (30)$$

której pochodną wzdłuż trajektorii (27) można oszacować jak następuje:

$$\begin{aligned} \dot{V} &= \mathbf{e}^{*T} \dot{\mathbf{e}}^* \stackrel{(27)}{=} \mathbf{e}^{*T} (-k_p \mathbf{e}^* + \mathbf{r}) = \\ &= -k_p \mathbf{e}^{*T} \mathbf{e}^* + \mathbf{e}^{*T} \mathbf{r} \leq \\ &\leq -k_p \|\mathbf{e}^*\|^2 + \|\mathbf{e}^*\| \|\mathbf{r}\| \stackrel{(28)}{=} \\ &\stackrel{(28)}{=} -k_p \|\mathbf{e}^*\|^2 + \|\mathbf{e}^*\| \|\mathbf{h}^*\| \gamma \leq \\ &\leq -k_p \|\mathbf{e}^*\|^2 + \|\mathbf{e}^*\| (k_p \|\mathbf{e}^*\| + \|\dot{\mathbf{x}}_t^*\|) \gamma \end{aligned}$$

gdzie: $\gamma = \sqrt{1 - \cos^2 \alpha} \leq 1 \ \forall \alpha \in T^1$. Zatem ostatecznie:

$$\dot{V} \leq -W(\mathbf{e}^*, \dot{\mathbf{x}}_t^*, \gamma), \quad (31)$$

gdzie ciągła funkcja:

$$W(\mathbf{e}^*, \dot{\mathbf{x}}_t^*, \gamma) = k_p(1 - \gamma) \|\mathbf{e}^*\|^2 - \|\mathbf{e}^*\| \|\dot{\mathbf{x}}_t^*\| \gamma \quad (32)$$

jest dodatnio określona dla

$$\|\mathbf{e}^*\| > \Gamma, \quad \Gamma = \frac{\gamma \|\dot{\mathbf{x}}_t^*\|}{k_p(1 - \gamma)}. \quad (33)$$

Zgodnie z twierdzeniem La Salla-Yoshizawy⁵ [19] zachodzi⁶:

$$\forall \|e^*\| > \Gamma : \lim_{t \rightarrow \infty} W \rightarrow 0_+ \Rightarrow \lim_{t \rightarrow \infty} \|e^*\| \rightarrow \Gamma_+. \quad (34)$$

Zatem $\|e^*\|$ nie wzrasta dla $\gamma < 1$. Co więcej, na podstawie (24) i (29) mamy:

$$\lim_{t \rightarrow \infty} \gamma = 0 \stackrel{(33)}{\Rightarrow} \lim_{t \rightarrow \infty} \Gamma = 0 \stackrel{(34)}{\Rightarrow} \lim_{t \rightarrow \infty} \|e^*\| = 0. \quad (35)$$

Z definicji (11), (12) i (8) oraz z wniosku (24) wynika, że:

$$\lim_{e^* \rightarrow 0} x_{2d} = x_{2t} \Rightarrow \lim_{x_2 \rightarrow x_{2d}, e^* \rightarrow 0} x_2 = x_{2t}. \quad (36)$$

Zatem ostatecznie wnioskuje się, że

$$\lim_{t \rightarrow \infty} e_2 = 0 \quad (37)$$

i tym samym uchyby $e = [e_1 \ e_2 \ e_3]^T$ zbieżają jednostajnie asymptotycznie do zera dla $t \rightarrow \infty$ i $h_1 \neq 0$. Z założeń (22) i (23) oraz równań (13), (20), (14), (11), (36), (37) oraz (8) wynika, że sterowania u_1, u_2 są ciągłe i ograniczone oraz: $\lim_{t \rightarrow \infty} u_i = u_{it}$, $i = 1, 2$. \square

Uwaga 1 Powyższe rozważania pokazują asymptotyczną zbieżność błędu e^* do zera nie dając żadnej informacji o szybkości tej zbieżności. Jak pokażą wyniki symulacyjne, w istocie zbieżność ta jest szybka, a wskazywać na ten fakt może bezpośrednia analiza równania (27). Mianowicie, skoro prawa strona równania różniczkowego w (27) zmierza do zera dowolnie szybko (zgodnie z (24) i (29)), to ewolucja błędu e^* jest zbliżona do dynamiki pierwszego rzędu z zerową prawą stroną równania⁷ (27).

Uwaga 2 Proponowane wyżej prawo sterowania staje się osobliwe, gdy w trakcie ewolucji sterowanego systemu (2) wymagane jest przejście przez kierunek osobliwy $h_s = \{h : h_1 = 0\}$. Wówczas sygnał zadany x_{2d} z (12), a tym samym sterowanie u_1 z (13) stają się nieograniczone. Zdefiniujmy pewien obszar w przestrzeni błędów e_1 :

$$D = \{e_1 : (e_1 u_{2t} < 0) \wedge (k_p |e_1| > |u_{2t}|)\}. \quad (38)$$

Zgodnie z definicją (11) $h_1 = k_p e_1 + \dot{x}_{1t}$, a warunki dostateczne na przejście przez osobliwość $h_1 = 0$ można określić następująco:

$$e_1 \in D \Rightarrow \exists \bar{t} < \infty : h_1(\bar{t}) = 0. \quad (39)$$

Problem osobliwości można rozwiązać w jeden z następujących sposobów:

- poprzez unikanie osobliwości – postać pierwszego równania w (2) pozwala na zastosowanie chwilowo takiego sterowania $u_2 = \bar{u}_2$, by wyprowadzić e_1 z obszaru D ,
 - poprzez modyfikację pewnych sygnałów w pobliżu osobliwości tak, aby współrzędna h_1 wektora zbieżności przeszedł a w sposób ciągły i przez punkt osobliwy, a sygnały zmodyfikowane przeskoczyły punkt osobliwy [8].
- Oba sposoby uchylają włąsność ciągłości sterowań u_1, u_2 na rzecz ciągłości odcinkami.

⁵Funkcja (30) spełnia warunek twierdzenia La Salla-Yoshizawy [19] postaci: $\gamma_1(\|e^*\|) \leq V(e^*) \leq \gamma_2(\|e^*\|)$, dla $\gamma_1(\|e^*\|) = \gamma_2(\|e^*\|) = V(e^*)$, gdy z (30) jest funkcją klasy K_∞ .

⁶Zgodnie z (24) i (29) istnieje skończona chwila $t_\gamma < \infty$ taka, że $\forall t \geq t_\gamma : 0 < \gamma < 1 \Rightarrow \forall t \geq t_\gamma : \Gamma < \infty$.

⁷Zakładając brak przejścia przez osobliwość.

5. WYNIKI SYMULACYJNE

Jakość działania zaproponowanego prawa sterowania pokazują uzyskane wyniki symulacyjne wykonane dla dyskretnej dziedziny czasu w horyzoncie $\tau = 20[s]$ ze stałym okresem próbkowania $T_p = 0.005[s]$ dla warunków początkowych: $x_1(0) = 0$, $x_2(0) = 0$, $x_3(0) = 0$, $x_{1t}(0) = -6.1$, $x_{2t}(0) = -2.5$, $x_{3t}(0) = 7.1$. Podczas symulacji przyjęto następujące wartości parametrów: $k_p = 5$, $k_1 = 5$. Trajektoria referencyjna wynikała z numerycznego całkowania równań (8) ze stałym okresem próbkowania $T_p = 0.005[s]$ dla sterowań referencyjnych $u_{1t} = \sin 0.5t$, $u_{2t} = -0.7$.

Rys. 1 do 3 przedstawiają uzyskane przebiegi dla przypadku nieprzechodzenia przez kierunek osobliwy. Na uwagę zasługuje szybka zbieżność błędów śledzenia do zera oraz ograniczoność i mały koszt energetyczny sterowań (ewolucja systemu w stanach przejściowych nie wykazuje oscylacji). Należy zauważyć, iż kierunek pola g_2 został w przybliżeniu nałożony na kierunek wektora zbieżności h już po około $t = 0.2[s]$ (rys.2), zatem przed osiągnięciem przez błędy śledzenia otoczenia zera (rys.1), co potwierdza zasadność strategii sterowania przedstawionej w rozdziale 3.. Wartość $\cos \alpha$ zmierza asymptotycznie do -1 ze względu na strategię *popychania w tył* (ruchu *do tyłu*) przyjętą dla systemu referencyjnego (sterowanie $u_{2t} < 0$).

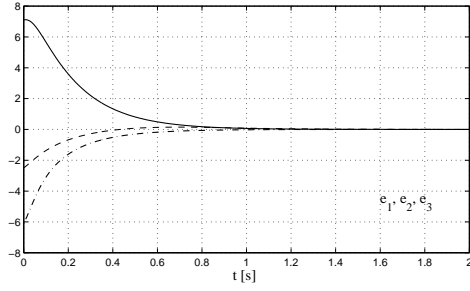
Przeprowadzono także symulacje dla przypadku, w którym wymagane jest przejście przez osobliwość $h_1 = 0$. Wszystkie wartości parametrów oraz sterowania referencyjne pozostały takie, jak w poprzednim przypadku. Zmianie uległy natomiast warunki początkowe, mianowicie: $x_1(0) = 0$, $x_2(0) = 0$, $x_3(0) = 0$, $x_{1t}(0) = 6.1$, $x_{2t}(0) = -2.5$, $x_{3t}(0) = 7.1$. Łatwo zauważyć, że błąd śledzenia $e_1(0)$ należy do obszaru D (definicja (38)). W celu przejścia przez osobliwość zastosowano algorytm tunelowy [8]: w otoczeniu osobliwości dla $|h_1| \leq \delta$ (gdzie $\delta = 0.9|u_{2t}| = 0.63$) przyjęto $x_{2d} = h_3/(-\text{sgn}(h_1(\bar{t}))\delta)$, $\dot{x}_{2d} = \dot{h}_3/(-\text{sgn}(h_1(\bar{t}))\delta)$, gdzie

$$\text{sgn}(x) = \begin{cases} 1, & \text{dla } x \geq 0, \\ -1, & \text{dla } x < 0, \end{cases} \quad (40)$$

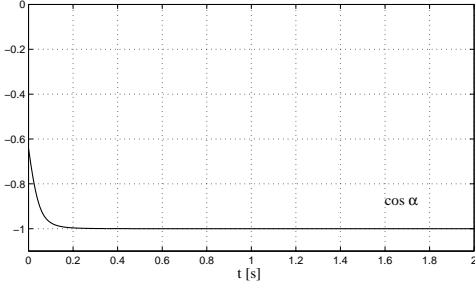
\bar{t} oznacza chwilę wejścia $|h_1|$ w tunel δ . Poza tunelem δ stosowano definicje wszystkich sygnałów, jak w przypadku bez osobliwości. Uzyskane wyniki przedstawiają rysunki 4 do 7. W przebiegach ograniczonych sygnałów sterujących widać dwa punkty nieciągłości (rys.6) wynikające z przechodzenia składowej h_1 przez granice tunelu $\pm\delta$ (rys.7). Ostatecznie jednak cel sterowania został osiągnięty (również w tym przypadku zbieżność błędów jest szybka) – rys.4. Rys. 7 ukazuje zjawisko *przeskakiwania* przez sygnał x_{2d} punktu osobliwego $h_1 = 0$ przy jednoczesnym ciągłym przejściu h_1 przez punkt $h_1 = 0$.

6. PODSUMOWANIE

W artykule zaprezentowano prawo stabilizacji trajektorii wynikające z zastosowania metody orientowania pól



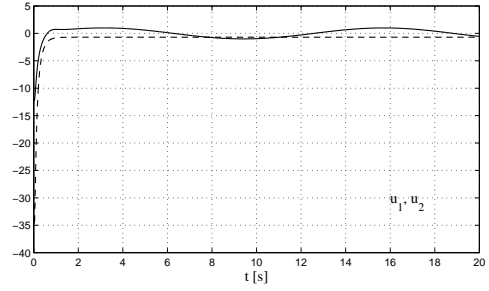
Rysunek 1. Skrócone przebiegi błędów śledzenia: $e_1(-\cdot-)$, $e_2(-\cdot-)$, $e_3(-\cdot-)$ dla przypadku bez przejścia przez osobliwość $h_1 = 0$.



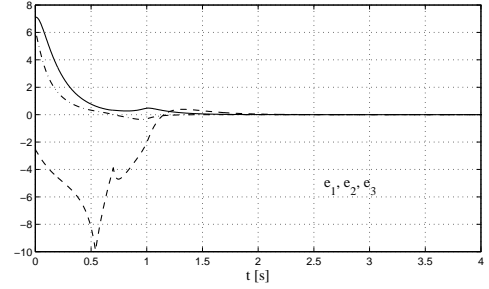
Rysunek 2. Skrócony przebieg $\cos \alpha$ dla przypadku bez przejścia przez osobliwość $h_1 = 0$.

wektorowych wprowadzonej w pracach [11, 12]. Metoda ta wykorzystuje geometryczną interpretację postaci i potencjalnej ewolucji modelu kinematyki rozważanego systemu. Stosowanie metody orientowania pól wektorowych do układów 1-łączuchowych wiąże się z występowaniem osobliwości ze względu na niepełną orientowalność pola generatora g_2 . Wyniki symulacyjne pokazały efektywność proponowanego podejścia – dobrą jakość statyczną i dynamiczną procesu stabilizacji trajektorii w przypadku bez osobliwości. Zaproponowano również dwa ogólne sposoby rozwiązania problemu osobliwości, a skuteczność jednej z metod (zaczepniętej z pracy [8]) potwierdzono wynikami symulacji.

Wydaje się, że metoda orientowania pól wektorowych stanowi pewne uogólnienie sterowania we współrzędnych biegunowych. Charakterystycznymi cechami prawa sterowania uzyskanego w oparciu o tę metodę są: prostota syntezy regulatora (strojeniu podlegają tylko dwa parametry k_p i k_1 odpowiadające za szybkość zbieżności odpowiednich błędów do zera), geometryczna interpretacja poszczególnych składników sterowania, *naturalny* ruch systemu w stanach przejściowych skutkujący stosunkowo małym kosztem energetycznym sterowań (w porównaniu do innych metod znanych z literatury). Zaproponowane sterowanie dla trójwymiarowego systemu 1-łączuchowego daje się bezpośrednio uogólnić na system czterowymiarowy (i więcej wymiarowy) lecz wraz ze wzrostem różnicy między liczbą zmiennych sterowanych a liczbą sterowań należy spodziewać się zwiększenia kosztu sterowania (zwłaszcza sterowania orientującego). Przyszłe prace skoncentrowane zostaną na próbie rozwiązania zadania stabilizacji w punkcie w oparciu o metodę orientowania pól wektorowych.



Rysunek 3. Przebiegi sygnałów sterujących: $u_1(-\cdot-)$, $u_2(-\cdot-)$ dla przypadku bez przejścia przez osobliwość $h_1 = 0$.



Rysunek 4. Skrócone przebiegi błędów śledzenia: $e_1(-\cdot-)$, $e_2(-\cdot-)$, $e_3(-\cdot-)$ z przejściem przez osobliwość $h_1 = 0$.

DODATEK

Wyprowadzenie zależności (28):

$$\mathbf{r} \stackrel{(27)}{=} \mathbf{h}^* - \dot{\mathbf{x}}^* \stackrel{(6)}{=} \begin{bmatrix} h_1 \\ h_3 \end{bmatrix} - \begin{bmatrix} 1 \\ x_2 \end{bmatrix} u_2 \stackrel{(17)}{=} \stackrel{(17)}{\|\mathbf{h}^*\|} \begin{bmatrix} \frac{h_1}{\|\mathbf{h}^*\|} - k_2 \cos \alpha \\ \frac{h_3}{\|\mathbf{h}^*\|} - x_2 k_2 \cos \alpha \end{bmatrix} = \|\mathbf{h}^*\| \begin{bmatrix} r_{h1} \\ r_{h2} \end{bmatrix},$$

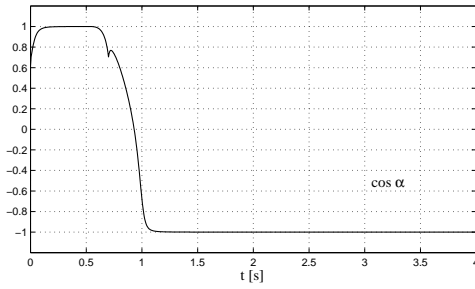
zatem

$$\begin{aligned} \|\mathbf{r}\|^2 &= \|\mathbf{h}^*\|^2 (r_{h1}^2 + r_{h2}^2) = \\ &= \|\mathbf{h}^*\|^2 \left[1 + (1 + x_2^2) k_2^2 \cos^2 \alpha - \right. \\ &\quad \left. - 2k_2 \cos \alpha \frac{h_1 + h_3 x_2}{\|\mathbf{h}^*\|} \right] \stackrel{(18)}{=} \\ &\stackrel{(18)}{=} \|\mathbf{h}^*\|^2 (1 + \cos^2 \alpha - 2 \cos^2 \alpha) = \\ &= \|\mathbf{h}^*\|^2 (1 - \cos^2 \alpha). \end{aligned}$$

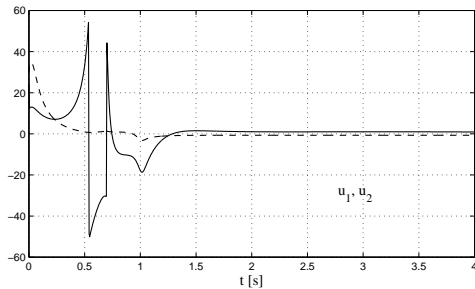
Wyprowadzenie zależności (29):

$$\begin{aligned} 1 - \cos^2 \alpha &\stackrel{(17)}{=} 1 - \frac{(h_1 + h_3 x_2)^2}{(1 + x_2^2)(h_1^2 + h_3^2)} = \\ &= \frac{(1 + x_2^2)(h_1^2 + h_3^2) - h_1^2 - 2h_1 h_3 x_2 - h_3^2 x_2^2}{(1 + x_2^2)(h_1^2 + h_3^2)} = \\ &= \frac{(h_3 - h_1 x_2)^2}{(1 + x_2^2)(h_1^2 + h_3^2)}. \end{aligned}$$

Dla $x_2 \rightarrow x_{2d}$ mamy $x_2 \xrightarrow{(12)} h_3/h_1$, co po podstawieniu do powyższej formuły daje wynik (29).



Rysunek 5. Skrócony przebieg $\cos \alpha$ z przejściem przez osobliwość $h_1 = 0$.



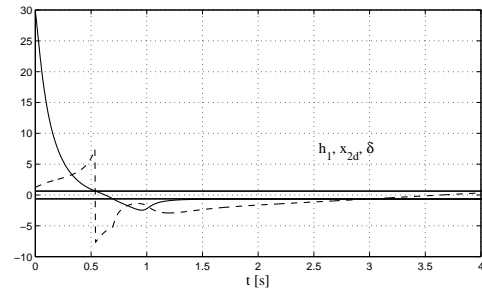
Rysunek 6. Skrócone przebiegi sygnałów sterujących: $u_1(-)$, $u_2(-)$ z przejściem przez osobliwość $h_1 = 0$.

TRACKING CONTROL WITH VECTOR FIELD ORIENTATION FOR 3-D CHAINED SYSTEM

Abstract: The article presents a proposition for solving a trajectory tracking task for the 3-D nonholonomic chained system. The control design methodology (*vector field orientation method* [11, 12]) comes from a simple analysis of vector fields (generators) of the considered kinematics and from a geometrical interpretation of the system evolution. The control strategy description and simulation results are included in the paper.

Literatura

- [1] M. Aicardi, G. Casalino, A. Bicchi, A. Balestrino. Closed loop steering of unicycle-like vehicles via Lyapunov techniques. *IEEE Robotics and Automation Magazine*, 2:27–35, 1995.
- [2] A. Astolfi. *Asymptotic stabilization of nonholonomic systems with discontinuous control*. Praca doktorska, Swiss Federal Institute of Technology, Zurich, 1995.
- [3] A. M. Bloch. *Nonholonomic mechanics and control*. Systems and Control. Springer, New York, 2003.
- [4] R. W. Brockett. Asymptotic stability and feedback stabilization. R. W. Brockett, R. S. Millman, H. H. Sussmann, redaktorzy, *Differential Geometric Control Theory*, strony 181–191. Birkhauser, Boston, 1983.
- [5] B. d'Andrea Novel, G. Campion, G. Bastin. Control of nonholonomic wheeled mobile robots by state feedback linearization. *International Journal of Robotics Research*, strony 543–559, 1995.
- [6] C. Canudas de Wit, H. Khenouf, C. Samson, O. J. Sordalen. Nonlinear control design for mobile robots. Y.F. Zheng, redaktor, *Recent Trends in Mobile Robots*, wolumen 11, rozdział 5, strony 121–156. World Scientific, Singapore, 1993.



Rysunek 7. Skrócone przebiegi następujących sygnałów: $h_1(-)$, $x_{2d}(-)$ z przejściem przez osobliwość $h_1 = 0$. Zaznaczono tunel $\pm\delta$ w pobliżu osobliwości.

- [7] W. E. Dixon, A. Behal, D. M. Dawson, S. P. Nagarkatti. *Nonlinear control of engineering systems. A Lyapunov-based approach*. Birkhäuser, Boston, 2003.
- [8] I. Dułęba. *Metody i algorytmy planowania ruchu robotów mobilnych i manipulacyjnych*. Akademicka Oficyna Wydawnicza EXIT, Warszawa, 2001.
- [9] Y. Kanayama, Y. Kimura, F. Miyazaki, T. Noguchi. A stable tracking control method for an autonomous mobile robot. *IEEE International Conference on Robotics and Automation*, strony 384–389, Maj 1990.
- [10] I. Kolmanowsky, N. H. McClamroch. Developments in nonholonomic control problems. *IEEE Control Systems*, strony 20–36, Grudzień 1995.
- [11] M. Michałek, K. Kozłowski. Sterowanie nieholonomicznym robotem mobilnym metodą orientowania pola wektorowego. *VIII Krajowa Konferencja Robotyki*, 2004.
- [12] M. Michałek, K. Kozłowski. Tracking controller with vector field orientation for 3-D nonholonomic manipulator. *Proceedings of the 4th International Workshop On Robot Motion and Control*, strony 181–189, Puszczkowo, 2004.
- [13] P. Morin, C. Samson. Feedback control of nonholonomic wheeled vehicles. A survey. K. Kozłowski, K. Tchoń, redaktorzy, *Archives of Control Sciences*, wolumen 12(XLVIII), strony 7–36. Silesian University of Technology, 2002.
- [14] P. Morin, C. Samson. Practical stabilization of driftless systems on Lie groups: The transverse function approach. *IEEE Trans. On Automatic Control*, 48(9):1496–1508, 2003.
- [15] P. Morin, C. Samson. Trajectory tracking for nonholonomic vehicles: overview and case study. *Proceedings of the 4th International Workshop On Robot Motion and Control*, strony 139–153, Puszczkowo, 2004.
- [16] G. Oriolo, A. De Luca, M. Vendittelli. WMR control via dynamic feedback linearization: Design, implementation and experimental validation. *IEEE Transactions On Control System Technology*, strony 835–852, Listopad 2002.
- [17] O. J. Sordalen, Y. Nakamura, W. J. Chung. Control of a nonholonomic manipulator. L. Sciacivco, C. Bonivetto, F. Nicolo, redaktorzy, *Robot Control 1994*, strony 279–284. Pergamon, Capri, Italy, 1994.
- [18] K. Tchoń, M. Kabała, M. Wnuk. Algorytm śledzenia trajektorii robota mobilnego mk. *XIV Krajowa Konferencja Automatyki*, strony 663–668, Zielona Góra, 2002.
- [19] K. Tchoń, A. Mazur, I. Dułęba, R. Hossa, R. Muszyński. *Manipulatory i roboty mobilne. Modele, planowanie ruchu, sterowanie*. Akademicka Oficyna Wydawnicza PLJ, Warszawa, 2000.